

航空宇宙技術研究所報告

TECHNICAL REPORT OF NATIONAL AEROSPACE LABORATORY

TR-1069

CRAY X-MPシステムの
マルチタスキングによる並列処理

中村 絹代 ・ 福田 正大

1990年6月

航空宇宙技術研究所
NATIONAL AEROSPACE LABORATORY

CRAY X-MPシステムの マルチタスキングによる並列処理*

中村 絹代** 福田 正大**

Parallel Processing Using Multitasking on CRAY X-MP System

Kinuyo NAKAMURA and Masahiro FUKUDA

ABSTRACT

We investigated parallel processing using multitasking on the CRAY X-MP/216 system, which is a supercomputer with multiple vector processors. Multitasking is a multiprocessor computer operation mode that executes two or more parts of a single program in parallel. It is one method of high-speed processing.

The FORTRAN programs under investigation are those for a subsonic flow over an airfoil, an unsteady transonic flow over a wing, and an inviscid compressible flow through a two-dimensional cascade. These programs were rewritten so that they could be effectively executed on two CPUs. The computing times of the original programs with one CPU, multitasked programs with one CPU, and multitasked programs with two CPUs are presented in this paper, and the ratio of the computing times of the multitasked programs to those of the original program is discussed.

1. ま え が き

計算科学の隆盛と共に計算機の高速度処理能力への要求は増大の一途であり、この要求圧力のもとにスーパーコンピュータといわれるものが次々に開発され、成功を収めている。そしてその成功がさらに計算科学の可能性を大きく拓くものとなり、より一層高速な計算機を求めている。

航技研が先導的に示した、流体力学分野における粘性流数値シミュレーション手法の技術的および自然認識ツールとしての有効性も、スーパーコンピュータのこの発展を除いては考えられないものである。この結果は、数値流体力学における新しい領域の開拓、乱流構造の直接シミュレーションへの展望、技術現場での実利用等に向けて、さらに高速のスーパーコンピュータを要求している。

一方、これまで順調に開発されてきたスーパーコンピュータ、特に日本のスーパーコンピュータメーカーが進めてきた単一計算機による処理の高速化は、その性能において飽和に達しつつある。このため、より一層の高速処理を実現するには、計算機内部では日本のメーカーもすでに実現しているベクトル演算方式を、そして、計算機間では米国メーカーがすでに実現している並列処理方式の採用が不可避となっている。

本報告は、計算機間での並列処理方式を採用している単一パイプライン多重計算機方式スーパーコンピュータであるCRAY X-MPを対象に、航技研の計算空力コード3種類に並列処理を適用した結果について報告するものである。以下、2章ではスーパーコンピュータにおける高速処理の概略を、3章ではCRAY X-MPの多重計算機システム及び並列処理の概略を、4章では計算空力コードへの並列処理適用とその結果を記す。

* 平成2年4月20日受付

** 数理解析部

2. スーパーコンピュータにおける高速処理の概略¹⁾

高速演算処理を実現するには、計算機の基本実行単位時間であるマシンサイクルタイムの短縮と単位時間内の処理量増大を図ることが必要である²⁾。前者は、高速素子(ガリウム・砒素, HEMT (High Electron Mobility Transistor), ジョセフソン等), コンパクトな実装技術, 冷却技術等ハードウェア的観点から為されるものである。

一方後者は、計算機の構成方式(アーキテクチャ)の工夫というソフトウェア的観点から為されるもので、処理の並列性を如何にして増大させるかにある。この手段としては、パイプライン処理方式, 並列処理方式(現在, 多重ベクトル計算機と呼ばれているものも並列処理方式の範疇に入る)等があるが, それぞれの方式の概念は必ずしも排他的ではなく, 互いに他の方式を取り入れてより一層の高速化を実現している。

現在最もよく実用化されているスーパーコンピュータはパイプライン処理方式の演算器(以後パイプライン演算器という)を持つベクトル計算機と呼ばれるものである。この方式のスーパーコンピュータでは, ベクトル演算をパイプライン処理するための基本処理時間をパイプラインピッチ時間(以後, パイプラインピッチと言う)と呼び, マシンサイクルタイムと区別している。マシンサイクルタイムとパイプラインピッチが同じスーパーコンピュータもあれば異なっているスーパーコンピュータもある。例えば, 富士通の FACOM VP200ではマシンサイクルタイムが14ナノ秒, パイプラインピッチが7ナノ秒, 日本電気のSX-2ではマシンサイクルタイム, パイプラインピッチとも6ナノ秒である。

ベクトル演算の処理能力はパイプラインピッチで決まる。或るパイプライン演算器が, 1パイプラインピッチ(p ナノ秒とする)毎に1つの演算結果を出力するとすれば, そのパイプライン演算器の理論性能-ピーク性能ともいわれる-は,

$$1000/p\text{-MFLOPS}$$

となる。ここで MFLOPS は, Mega Floating

Operations Per Secondの略で, 1秒間に100万回の浮動小数点演算を実行することを意味し, スーパーコンピュータの処理速度を表す単位として用いられる。

前述したのは最も単純なパイプライン演算器の場合であって, パイプラインピッチを2ナノ秒としても500 MFLOPSにしかならず, このままでは速度向上が小さい。このため, さらに次のような演算器間での並列化, 演算器内での並列化の工夫がなされている。

前者の演算器間での並列化は, 論理的にも物理的にも複数の演算器が独立に動作するものである。独立に動作するパイプライン演算器が m 本あれば, 1パイプラインピッチ毎に m 個の演算結果が得られることになる。従って理論性能も m 倍になる。この機能を持つスーパーコンピュータには富士通の FACOM VP400, 日本電気の SX-2 等があり, 乗算パイプラインと加算パイプラインが独立に動作し, 異種演算を並列に行う。また, 日本電気の SX-3, 日立の S-810, S-820 のように独立に動作する2つ以上の例えば加算器といったように, 同一の演算に対して複数の演算器を備えているものもある。

後者の演算器内での並列化は, 論理的には1本のパイプラインであるが, 物理的には複数のパイプラインより成っているものである。論理的に1本にまとめられている複数のパイプライン演算器は独立には動作しない。このようなパイプラインのことを多重パイプラインといい, 物理的には n 本より成っている1本のパイプラインを n 重パイプラインという。多重化されていないパイプラインのことを単一パイプラインという。 n 重パイプラインでは, 1パイプラインピッチ毎に n 個の演算結果が得られることになる。従って理論性能も n 倍になる。この場合には同一の演算対象, 例えば, $a = b * c$ の a, b, c は $\text{mod}(n)$ で配分され実行される。富士通の FACOM VP400 は4重の加算, 乗算パイプラインを備えている。

これら二つの工夫を同時に採用すると, 並列動作可能な m 本の n 重パイプライン演算器を持つスーパーコンピュータとなり, 1パイプラインピッ

チ毎に $m \times n$ 個の演算結果が得られることになる。例えば、FACOM VP400は、並列動作可能な4重化された加算と乗算パイプラインを1本ずつ持っている。この結果、VP400では1パイプラインピッチ毎に最大8個の演算結果(4個の加算結果と4個の乗算結果)が得られる。VP400の1パイプラインピッチは7ナノ秒なので、その理論性能は $8 \times 1000 / 7 = 1143$ MFLOPS となる。SX-3は、並列動作可能な4重化された加算と乗算パイプラインを2本ずつ持っており、1パイプラインピッチ毎に最大16個の演算結果(8個の加算結果と8個の乗算結果)が得られ、2.9ナノ秒のパイプラインピッチのもとで、理論性能は $16 \times 1000 / 2.9 = 5517$ MFLOPS となる。

さらに、1台の計算機の内部での並列化に止まらず、計算機システムとして計算機間での並列化を図って高速処理を実現しようとする方法もある。これが通常「並列計算機」といわれているものである。台数が少ない場合には「多重計算機」といわれることもある。これに対して、1台の計算機より成る計算機システムを特に区別して呼ぶ場合には単一計算機という。単一ベクトル計算機方式のスーパーコンピュータとしては、富士通のVP200, VP400, 日本電気のSX-1, SX-2等がある。また、多重ベクトル計算機方式のスーパーコンピュータとしては、CRAYのX-MP, Y-MP, ETAのETA 10の外、ミニスーパーコンピュータといわれているものが数多くある。

単一、多重計算機方式を問わず、演算器を加算器、乗算器、ロード/ストア器、論理演算器等と機能別に有しており、前述したような1計算機内での並列処理方式を併せて採用している。パイプラインの多重化と計算機間での並列処理方式の組み合わせにより、単一パイプライン単一計算機方式、単一パイプライン多重計算機方式、多重パイプライン単一計算機方式、多重パイプライン多重計算機方式の4つが考えられる。これらの構成様式を模式的に示すと図2.1のようになる。多重パイプライン単一ベクトル計算機方式のスーパーコンピュータとしてはFACOM VP, NEC SX-1, 2が、単一パイプライン多重ベクトル計算機方式のスーパーコンピュータとしてはCRAY X-MP, Y-MPが、多重パイプライン多重ベクトル計算機方式のスーパーコンピュータとしてはETA 10, NEC SX-3がある。

並列処理方式の計算機の開発計画は数多くあるが、市販されているものは、使い易さ、実行性能向上の容易さの点でベクトル計算機に劣り、また最大処理速度でも劣るため、大規模数値シミュレーションへの利用度は少ない。しかし素子技術による劇的な処理速度向上は期待し難く、また現状素子による単一ベクトル計算機の最大処理速度は数G~10GFLOPS程度と考えられるので、現在のスーパーコンピュータの数十倍の処理速度達成のためには複数台の構成によるベクトル計算機の多重化が必須となる。商業的に販売されている最

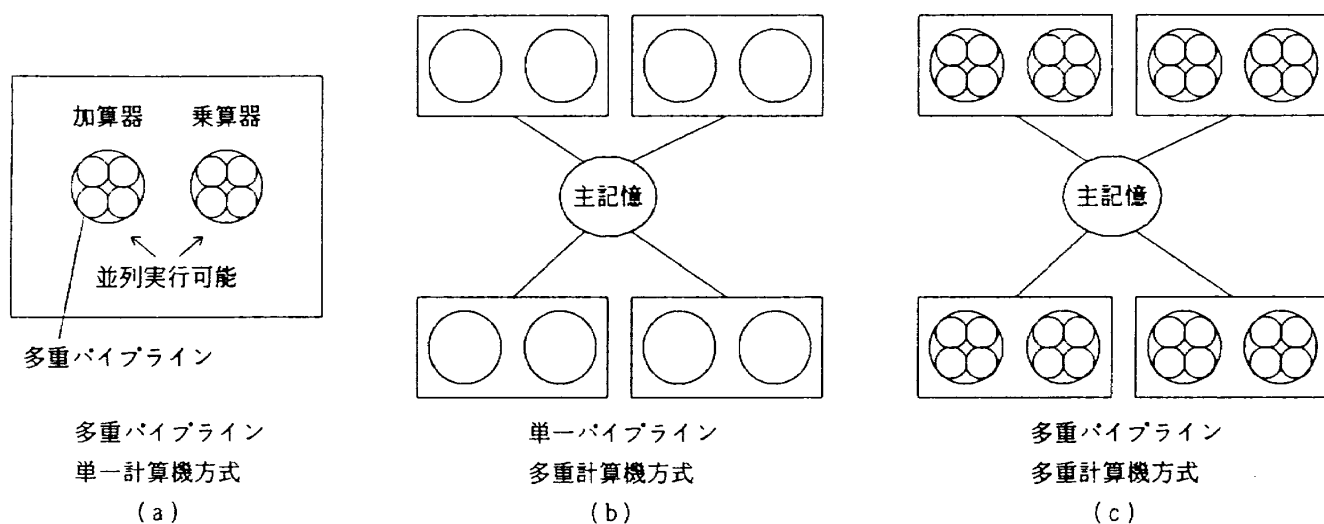


図2.1 パイプライン方式の構成様式

高速のスーパーコンピュータはすでにこの方向にあり(ETA 10, NEC SX-3),これから発表されるものも同様である。ETA社は89年4月にスーパーコンピュータ事業から撤退した。米国では並列処理技術の研究が進んでおり, CRAY Y-MPの並列化処理能力は高いといわれている。

3. CRAY X-MP のシステム 及び並列処理の概要

3.1 ハードウェア構成について³⁾

今回利用したシステムは, IBM3090-200をフロントエンド計算機, CRAY X-MP/216システム(以後 X-MP/216と呼ぶ)をバックエンド計算機とするシステムである。X-MP/216はパイプライン方式のベクトル計算機を2台, メモリ16MWをもつ2多重ベクトル計算機システムである。ベクトル計算機のマシンサイクルは8.5nsであり, 2台がメモリを共有している。ジョブはIBMシス

テムを通して X-MP/216に送られる。図3.1に CRAY X-MP 多重計算機システム構成図を示す。

X-MP/216では CPU (計算機)間通信制御装置により, 2台の CPU 間や共有している主記憶の処理調整を行い, 異なるジョブを2台のCPUで別々に並列処理することも, 単一ジョブを2台のCPUで並列に処理することも可能である。前者の使用方法は, ジョブのスループット(システム内滞在時間)を短縮する利点を有しているが1つのジョブの処理に要する時間は変わらない。後者の使用方法は1つのジョブの処理時間の短縮に役立つ, これが本報告で対象とする並列処理である。表3.1に X-MP/216のハードウェア主要諸元を示す。最大性能は2台合計で470 MFLOPSであり⁴⁾, 各CPUには,

- (i) 固定小数点加算演算
- (ii) 論理演算(2)
- (iii) シフト演算

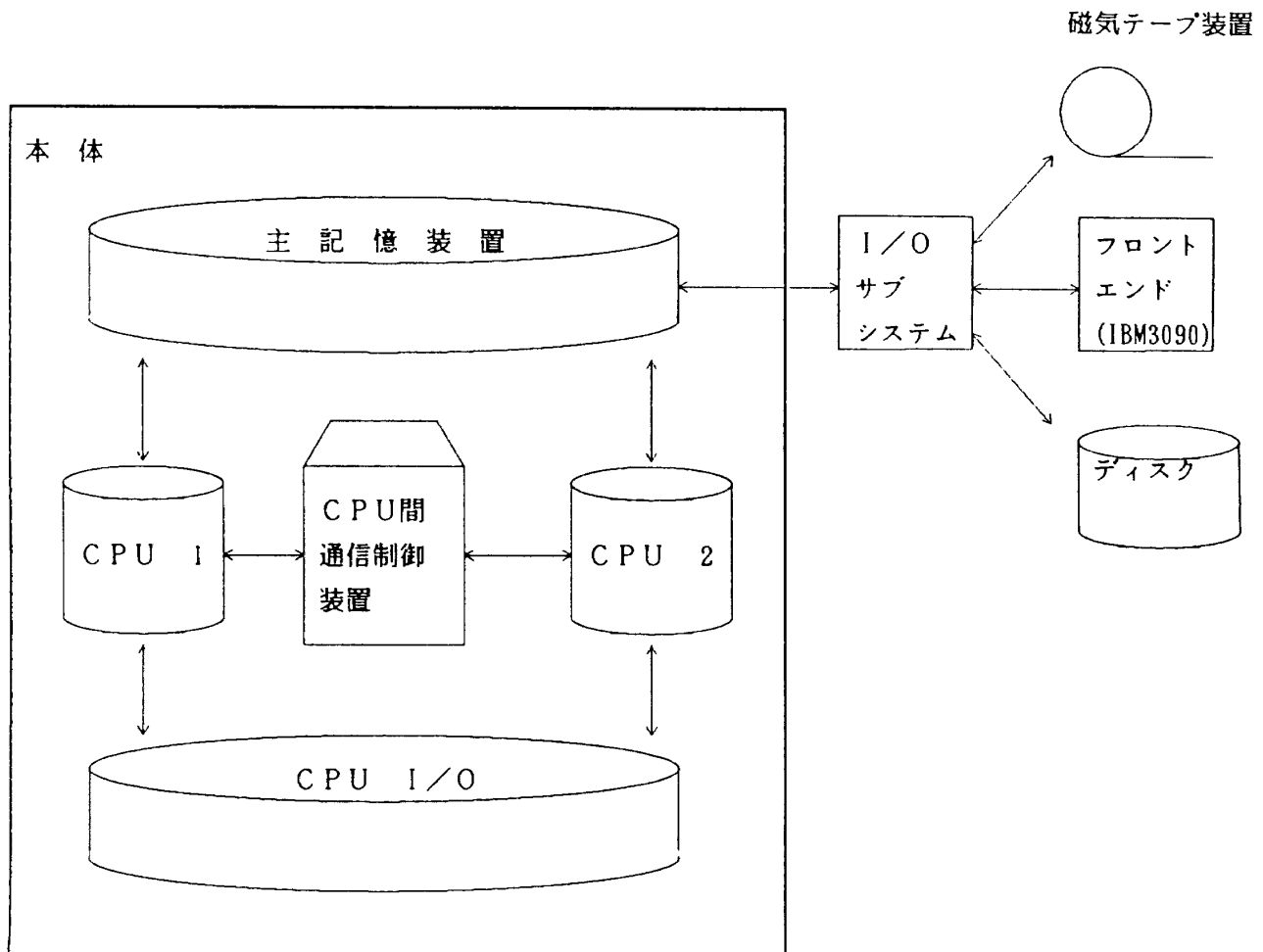


図3.1 CRAY X-MP 多重計算機システム

表 3.1 CRAY X-MP/216 システムのハードウェア主要諸元

項目		性能
最大性能		470 ^{*)} MFLOPS
CPU数		2
マシンサイクル		8.5 ns
スカラ命令数		111
ベクトル命令数		42
データ形式	論理データ	64 bit
	固定小数点データ	64 bit
	浮動小数点データ	64 bit
処理装置	ベクトルレジスタ	64 word × 8 個
	マスクレジスタ	1
	スカラレジスタ	64 word × 8 個
ベクトル演算器		8
バッファストレージ		4.8 MW
主記憶	容量	16 MW
	インターリーブ	32

*) 参考文献4)

- (iv) 計数演算
- (v) 浮動小数点加算演算
- (vi) 浮動小数点乗算演算
- (vii) 浮動小数点逆演算

のベクトル演算器が用意されている。

3.2 並列処理の概要

(1) 並列化について

計算機に与えられた或る単位をもつ仕事(タスク)は、通常逐次的に処理される。2つ以上のタスクが並列に実行可能であるということは、それらのタスクが正確に同時実行可能であることであ

る。タスクのレベルとしては、

- (i) ジョブレベル
- (ii) ジョブステップレベル
- (iii) サブルーチンレベル
- (iv) ループレベル
- (v) ステートメントレベル
- (vi) オペレーションレベル

が考えられる。ジョブレベルからオペレーションレベルへとレベルが高くなるほどタスクの規模は小さくなる。(i)及び(ii)のレベルの並列処理は、通常多重計算機システムでは行われており、ユーザーが特に意識する必要はない。単一ジョブ(ジョ

ブステップ)内で同時実行可能な部分があれば、多重計算機システムでは並列に処理可能であり、(III)~(V)のレベルの並列処理が適用できる。通常ユーザーが並列処理を考えるとこのレベルのものである。(VI)のレベルの並列処理は計算機のハードウェア命令レベルのものであり、汎用計算機でもこの技術が取り入れられている。ベクトル計算機にあっても加算機と乗算器の同時実行、チェーニング処理はこれに応じるものである。

並列処理の対象となるタスクの規模は上に述べたように幾種類か考えられるが、そのタスクが並列に実行可能であるというのは次のようなことである。下記のような FORTRAN の実行文を考える。

A = G (B)
C = H (D)

G, H : ある処理単位を代表する文の集合
A=G(B)というのはBというデータの集合にGという手続きを施してAというデータの集合になることを意味する。ここでHの処理を行うに当たってはGに含まれるデータを必要としないものとする。即ち、 $A \cap D = \emptyset$ 。これらの実行文は通常、図3.2のように逐次的に実行される。しかし、これらの実行は仮定により同時に実行しても演算結果に影響しない。したがって、図3.3のような命

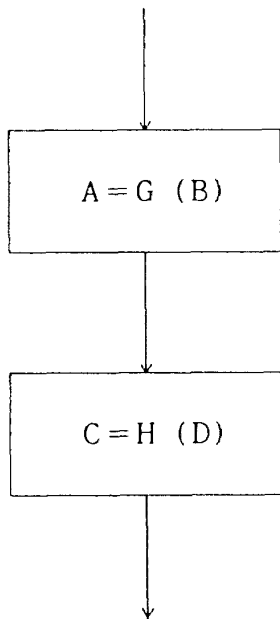


図 3.2 逐次処理構造図

令スケジュールを組むことにより並列に実行可能である。

また、Hの処理を行うに当たってGの処理結果Aを利用する場合 ($A \cap D \neq \emptyset$) には並列に実行すると正常な演算結果が得られず、この場合には逐次実行を行わねばならない。

このように単一ジョブが計算機上で実行される場合、逐次的に処理しなければならない部分とそうでない部分、すなわち、同時実行可能な部分とに分けられる。ジョブ全体の実行時間に占める同

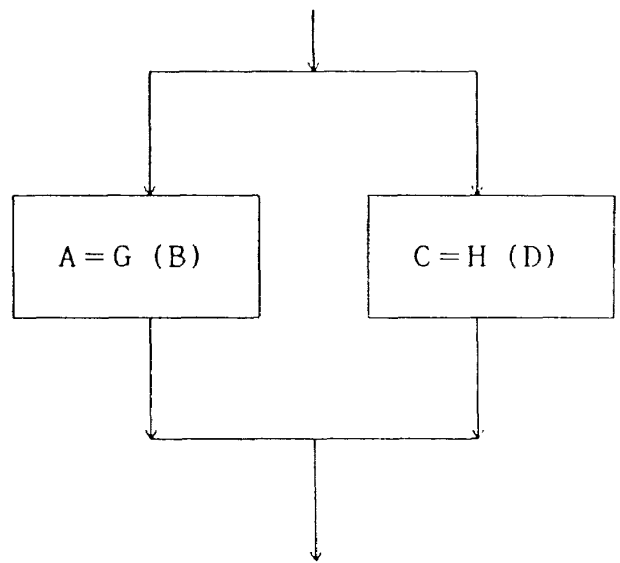


図 3.3 並列処理構造図

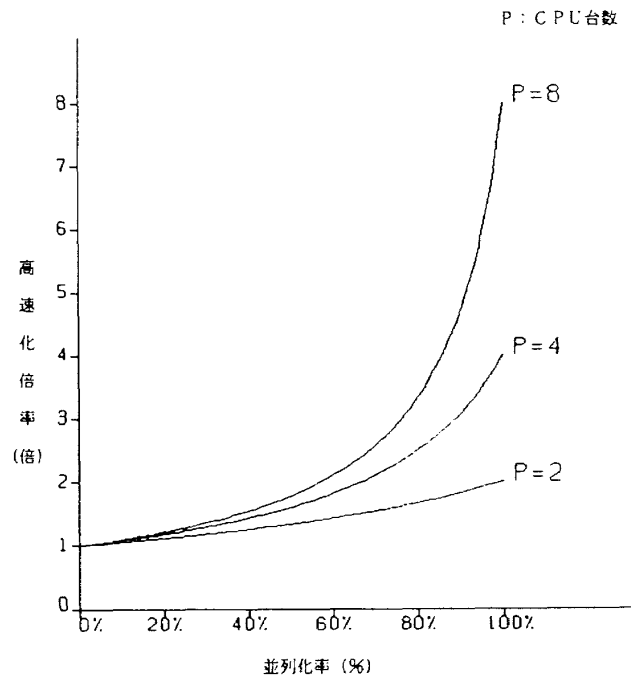


図 3.4 並列化率と高速化倍率

時実行可能な部分の実行時間の割合を並列化率と呼ぶ。また同時実行可能部分でも、各処理装置で処理される実行時間には長短のバラツキがあり、このバラツキの程度をワークロードバランスと呼ぶ。従って完全にワークロードのバランスがとれていれば、同時に実行開始になったタスクは同時に実行終了となる。一方の極端として、同時実行可能ではあるが片方のタスクは殆ど無視できる程度の処理時間しかかからない場合が考えられる。

この場合には並列処理の効果が殆どないことになる。完全にワークロードのバランスがとれた並列化率80%のジョブを2台のCPUを用いて並列処理すると、並列化のためのオーバーヘッド等を無視する単純計算では、1台のCPUで処理する場合の60% $(100-80+80/2)$ の時間で実行でき、約1.7倍の高速化を達成することができる。

多重計算機システムにより単一ジョブを並列処理した場合、オーバーヘッドがなく完全にワーク

表3.2 マルチタスキング・ライブラリ

ルーチン名		機能
タスク制御ルーチン	CALL TSKSTART	タスクを生成する。
	CALL TSKWAIT	他のタスクの実行終了を待つ。
	CALL TSKVALUE	特定のユーザIDを復活させる。
	CALL TSKLIST	実行タスク状態を記録する。
イベント制御ルーチン	CALL EVASGN	イベントとして使用する整変数を示す。
	CALL EVWAIT	特定のイベントがポストされるまで待つ。
	CALL EVPOST	イベントを発生させる。
	CALL EVCLEAR	イベントをクリアする。
	CALL EVREL	イベントとして使用する整変数を解放する。
ロック制御ルーチン	CALL LOCKASGN	ロックとして使用する整変数を示す。
	CALL LOCKON	メモリアクセスをロックする。
	CALL LOCKOFF	メモリアクセスへのロックを解除する。
	CALL LOCKREL	ロックとして使用する整変数を解放する。
チューニングルーチン	CALL TSKTUNE	ライブラリスケジューラ内のチューニングパラメータを修正する。

ロードバランスがとれていると仮定して得られる高速化倍率を図 3.4 に示す。横軸は並列化率を、縦軸は高速化倍率を示し、P は CPU の台数を示す。当然のことながら並列化率が 0% であれば CPU を何台並べても CPU 1 台と同じ実行時間であるし、並列化率が 100% であればワークロードバランスが完全にとれているとしたので、利用した CPU の台数倍の高速化倍率を得る。しかし実際には、並列処理を行うための準備時間の増大、ワークロードバランスの度合やメモリアクセス競合によるオーバーヘッドがかかり、この図よりは小さい高速化倍率となる。

(2) マルチタスキングについて⁵⁾

CRAY X-MP システムにおける単一ジョブの並列処理はマルチタスキングと呼ばれ、それはサ

ブルーチン単位にサポートされるマクロタスキングとサブルーチン、ファンクション、ループ、ステートメントの集合に対してサポートされるマイクロタスキングの 2 種類に分けられる。

マクロタスキングはサブルーチン相互間レベルでタスクが定義され、並列処理が行われる。タスクの発生やタスク間同期などはすべて FORTRAN プログラムからライブラリを呼ぶことにより行われ、タスクの管理はユーザーが行わねばならない。マクロタスキングは複数のサブルーチンにまたがる並列処理を行う場合に向いている。表 3.2 にマルチタスキングライブラリの一覧表を示す。

図 3.5 はマクロタスキングを用いて 2 CPU で並列処理を行う場合の方法を示したもので、(a) は通常のプログラム、(b)、(c) は並列化したプログラ

```

      S = 0.0
      DO 20 J = 1, N
        DO 10 I = 1, N
          A(I, J) = B(I) * C(J)
10      CONTINUE
          S = S + ABS(A(I, J))
20      CONTINUE

```

(a)

```

Task 0
COMMON/MT/A, B, C, N, S, LOCKS
CALL LOCKASGN(LOCKS)
S=0.0
CALL TSKSTART(IDT, T)
DO 20 J=1, N/2
  DO 10 I=1, N
    A(I, J)=B(I)*C(J)
10  CONTINUE
    CALL LOCKON(LOCKS)
    S=S+ABS(A(I, J))
    CALL LOCKOFF(LOCKS)
20  CONTINUE
    CALL TSKWAIT

```

```

Task 1
SUBROUTINE T
COMMON/MT/A, B, C, N, S, LOCKS
DO 20 J=N/2+1, N
  DO 10 I=1, N
    A(I, J)=B(I)*C(J)
10  CONTINUE
    CALL LOCKON(LOCKS)
    S=S+ABS(A(I, J))
    CALL LOCKOFF(LOCKS)
20  CONTINUE
    RETURN
    END

```

(b)

```

Task 0
COMMON/MT/A, B, C, N, S1
S0=0.0
S1=0.0
CALL TSKSTART(IDT, T)
DO 20 J=1, N/2
  DO 10 I=1, N
    A(I, J)=B(I)*C(J)
10  CONTINUE
    S0=S0+ABS(A(I, J))
20  CONTINUE
    CALL TSKWAIT
    S=S0+S1

```

```

Task 1
SUBROUTINE T
COMMON/MT/A, B, C, N, S1
DO 20 J=N/2+1, N
  DO 10 I=1, N
    A(I, J)=B(I)*C(J)
10  CONTINUE
    S1=S1+ABS(A(I, J))
20  CONTINUE
    RETURN
    END

```

(c)

図 3.5 マクロタスキング利用例

ムである。(a)のプログラムの DO 20のループを

$$1 \leq J \leq N/2$$

$$N/2+1 \leq J \leq N$$

のように、J の値により2つの部分に分けて一方をサブルーチン化し、並列化を行う。(b)の方法では変数Cが共通に使われるため、TASK0でCALL LOCKASGN (LOCKS)でLOCKSという変数をロックとして使用することを宣言する。引き続きCALL TSKSTART (IDT, T)により、このタスクのコントロールアレイとしてIDTを使用し、タスクの入口点としてのサブルーチン名Tを指定してタスクTの生成を行う。この後TASK0とTASK1のDO 10を並列に実行し、またタスク0およびタスク1に共通する実行文〔S=S+ABS(A(1, J))〕の変数の値を保証するため、メモリアクセスのロックおよび解除(LOCKON, LOCKOFF)を行いながら、Sの値を求める。最後にTSKWAITによりサブルーチンTの実行終了を待つ。この例の場合では(c)のように表現すれば、元のプログラムで共通に使われている変数Sを用いなくてもよくな

```

MAIN PROGRAM
  :
  CALL SUB
  :
STOP
END
    
```

fray

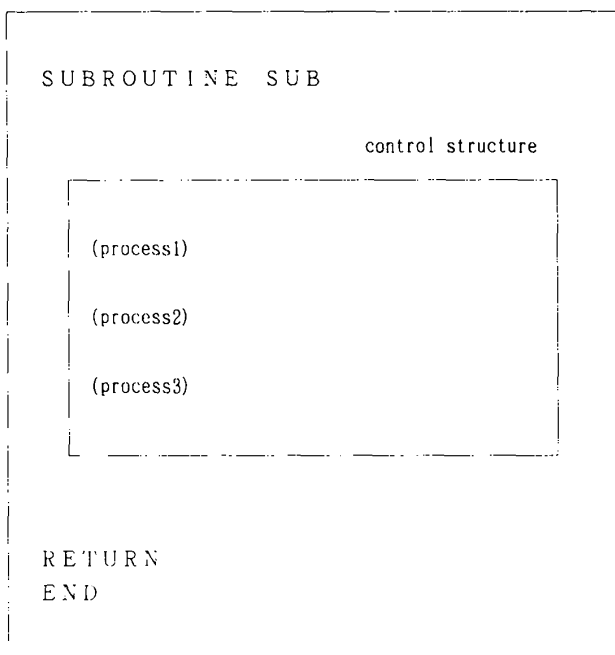


図 3.6 並列処理単位構成図

り、オーバーヘッドの軽減が図れる。

マクロタスキングに対し、マイクロタスキングではタスク管理はシステムが行い、ユーザーはプロセッサの数と並列処理部の指定を補助文を用いて行う。マイクロタスキングは一つのサブルーチン内での並列処理に向いている。

マイクロタスク化されるサブルーチンをfrayといい、同時実行させたい仕事の最小単位をprocessという。processの集合をcontrol structureという。frayは多くのprocessやcontrol structureから成る。その関係を図3.6に示す。

マイクロタスキングのための補助文はCMIC\$

```

CMIC$ MICRO
  SUBROUTINE SUB1(A, B, N, M)
  DIMENSION A(M, N), B(M, N)
CMIC$ DO GLOBAL
  DO 100 I=1, N
    DO 50 J=1, M
      A(J, I)=A(J, I)*B(J, I)
  50 CONTINUE
  100 CONTINUE
  RETURN
  END
    
```

図 3.7 CMIC\$ DO GLOBAL 補助文の使用例

```

CMIC$ MICRO
  SUBROUTINE SUB2
  COMMON A(100), B(100), C(100), M,
  *      D(100), E(100), F(100), N
CMIC$ PROCESS
  DO 100 I=1, M
    A(I)=B(I)*C(I)
  100 CONTINUE
CMIC$ ALSO PROCESS
  DO 200 I=1, N
    D(I)=E(I)*F(I)
  200 CONTINUE
CMIC$ END PROCESS
  RETURN
  END
    
```

図 3.8 CMIC\$ PROCESS 補助文の使用例

で始まる。その種類および機能を表 3.3 に、またその利用例を図 3.7 ~ 図 3.12 に示す。

図 3.7 は、MICRO および DO GLOBAL 補助文の使用例である。下線のついた補助文 CMIC\$ MICRO はサブルーチン SUB1 がマイクロタスク化されるサブルーチンであることを示す（以下の例でも同じ）。同じく CMIC\$ DO GLOBAL は

DO 100 のループが並列処理されることを示す。例えば 4 CPU で並列処理されると仮定すれば、

CPU0 I=1, 5, 9, ...

CPU1 I=2, 6, 10, ...

CPU2 I=3, 7, 11, ...

CPU3 I=4, 8, 12, ...

のように 4 個おきの I に対して各 CPU は DO 50

表 3.3 マイクロタスキングのための補助文

補 助 文	機 能
CMIC\$ GETCPUS n	利用する CPU 台数を指定する。n : 利用最大 CPU 台数
CMIC\$ RELCPUS	マイクロタスキングを行うために獲得した CPU をシステムに戻すことを示す。
CMIC\$ MICRO	マイクロタスク化されるサブルーチンであることを示す。
CMIC\$ PROCESS	コントロールストラクチャの始まりを示す。
CMIC\$ ALSO PROCESS	コントロールストラクチャ内の第 1 プロセス以外のプロセスの始まりを示す。かつ、前のプロセスの終了を示す。
CMIC\$ END PROCESS	プロセスの終了とコントロールストラクチャの終了を示す
CMIC\$ DO GLOBAL	プロセスのすべてが DO ループの反復内にあることを意味する。コントロールストラクチャを意味する。
CMIC\$ STOP ALL PROCESS	プロセス又は反復のすべてを実行することなしにプロセスと DO GLOBAL コントロールストラクチャの両方から外に出る方法を与える。
CMIC\$ GUARD n	同時実行から保護されるべきコードのセクションの始まりを示す。コントロールストラクチャ内又はコントロールストラクチャ内で呼ばれるサブルーチン内で使用される。 n : 整数 0 ~ 63 ($n > 63 \Rightarrow n - n / 64 * 64$)
CMIC\$ END GUARD n	同時実行から保護されるコードのセクションの終了を示す。 n : 整数 0 ~ 63 ($n > 63 \Rightarrow n - n / 64 * 64$)
CMIC\$ CONTINUE	別のサブルーチン内でマイクロタスキングを続行することを指示する。

<pre> <u>CMIC\$ MICRO</u> SUBROUTINE SUB1 (A, B, N, M) DIMENSION A (M, N), B (M, N) <u>CMIC\$ DO GLOBAL</u> DO 100 I=1, N DO 50 J=1, M A (J, I)=A (J, I)*B (J, I) 50 CONTINUE 100 CONTINUE RETURN END (a) </pre>	<pre> <u>CMIC\$ MICRO</u> SUBROUTINE SUB1 (A, B, N, M) DIMENSION A (M, N), B (M, N) <u>CMIC\$ PROCESS</u> DO 50 J=1, M A (J, 1)=A (J, 1)*B (J, 1) 50 CONTINUE <u>CMIC\$ ALSO PROCESS</u> DO 51 J=1, M A (J, 2)=A (J, 2)*B (J, 2) 51 CONTINUE <u>CMIC\$ ALSO PROCESS</u> DO 52 J=1, M A (J, 3)=A (J, 3)*B (J, 3) 52 CONTINUE <u>CMIC\$ ALSO PROCESS</u> : : : <u>CMIC\$ ALSO PROCESS</u> DO nn J=1, N A (J, N)=A (J, N)*B (J, N) nn CONTINUE <u>CMIC\$ END PROCESS</u> RETURN END (b) </pre>
--	--

図 3.9 CMIC\$ DO GLOBAL 補助文と CMIC\$ PROCESS 補助文の関係

のループを実行する。

図3.8は、PROCESSおよびALSO PROCESS、END PROCESS 補助文の使用例である。これらは、PROCESS 或いは ALSO PROCESS 文と END PROCESS 文に挟まれた部分が並列に実行されることを意味する。本例では、下線のついた補助文 CMIC\$ PROCESS と同じく CMIC\$ ALSO PROCESS に挟まれた DO 100 のループが1つのCPUで、CMIC\$ ALSO PROCESS と CMIC\$ END

```

CMIC$ MICRO
  SUBROUTINE SUB1(IA, IB, A)
  COMMON B(1000), C(1000), M(1000), N
CMIC$ PROCESS
  A=0.0
CMIC$ END PROCESS
CMIC$ DO GLOBAL
  DO 100 I=1, N
  IF(IA.LT.0) THEN
    DO 50 J=1, M(I)
    B(J)=C(J)*C(J)
  50 CONTINUE
  ENDIF
  WORKA=B(M(I))
  IF(IB.LT.0) THEN
CMIC$ GUARD
    A=A+WORKA
    GO TO 100
CMIC$ END GUARD
  ELSE
CMIC$ GUARD
    A=A+WORKA*0.5
    DO 30 K=1, M(I)
    C(K)=C(K)*0.5
  30 CONTINUE
CMIC$ END GUARD
  ENDIF
  :
  100 CONTINUE
  RETURN
  END

```

図3.10 CMIC\$ GUARD 補助文の使用例

PROCESS に挟まれた DO 200 のループがもう1つのCPUで、というように2台のCPUで並列に処理される。

図3.9は DO GLOBAL 補助文と PROCESS 補助文により処理されるタスクの関係を示す。これまでの説明からもわかる通り、DO GLOBAL 文で繰り返される添字を分解して、その一つずつを PROCESS あるいは ALSO PROCESS 文と END PROCESS 文で挟んだものが同等となる。即ち、図3.9(a)は DO GLOBAL 補助文を用いたプログラム、図3.9(b)は PROCESS 補助文を用いたプログラムで、この二つは同等である。DO GLOBAL 文は同じ手続を繰り返す(DO型処理)場合に向いており、PROCESS 文は異なる手続あるいは一重ループの並列化に向いている。

図3.10は GUARD 補助文の例である。この例では下線のついた実行文 A=A+... は DO GLOBAL 補助文により並列処理される各 I に対して共通に使用される配列である。このため、図に示すように CMIC\$ GUARD と CMIC\$ END GUARD で挟んで保護しなければならない。

図3.11は並列処理の途中ですべての並列実行を終了させる STOP ALL PROCESS 補助文の使用例を示したものである。本例では、設定条件を満

```

CMIC$ MICRO
  SUBROUTINE SUB1(A, B, N, M)
  DIMENSION A(M, N), B(M, N)
CMIC$ DO GLOBAL
  DO 100 I=1, N
  DO 100 J=1, M
  A(J, I)=A(J, I)*B(J, I)
  IF(A(J, I).LE.10) THEN
CMIC$ STOP ALL PROCESS
    GO TO 200
  ENDIF
  100 CONTINUE
  200 CONTINUE
  RETURN
  END

```

図3.11 CMIC\$ STOP ALL PROCESS 補助文の使用例

オリジナルプログラム

マイクロタスク化プログラム

```

C   MAIN PROGRAM

      DO 10 N=1, NEND
        CALL SUB1
10  CONTINUE

      STOP
      END

      SUBROUTINE SUB1

      DO 10 K=1, KL
        DO 10 J=1, JL
          DO 10 I=1, IL
            . . . . .
10  CONTINUE

      CALL SUB2
      RETURN
      END

      SUBROUTINE SUB2

      DO 10 K=1, KL
        DO 10 J=1, JL
          DO 10 I=1, IL
            . . . . .
10  CONTINUE
      RETURN
      END
    
```

```

C   MAIN PROGRAM
CMIC$ GETCPUS
      DO 10 N=1, NEND
        CALL SUB1
10  CONTINUE
CMIC$ RELCPUS

      STOP
      END

      CMIC$ MICRO
      SUBROUTINE SUB1
      CMIC$ DO GLOBAL
      DO 10 K=1, KL
        DO 10 J=1, JL
          DO 10 I=1, IL
            . . . . .
10  CONTINUE
      CMIC$ CONTINUE
      CALL SUB2
      RETURN
      END

      CMIC$ MICRO
      SUBROUTINE SUB2
      CMIC$ DO GLOBAL
      DO 10 K=1, KL
        DO 10 J=1, JL
          DO 10 I=1, IL
            . . . . .
10  CONTINUE
      RETURN
      END
    
```

図 3.12 他の補助文の使用例

足するDO変数に達したなら、DO GLOBALで指定されたループの外(ラベル200の行)へ実行が移動する。このため、この時実行状態にある他のCPUを停止させる必要があり、このような時にSTOP ALL PROCESS 補助文を用いる。

図3.12は上記以外の補助文の使用例である。使用するCPUの獲得と解放は、GETCPUS 補助文およびRELCPUS 補助文により行われる。マイクロタスク化されたサブルーチン(SUB1)の中から呼び出されるサブルーチン(SUB2)でも並列処理を行いたい時には、CONTINUE 補助文により並列処理の続行を指示する。

以上に述べただけで実際のプログラミングが出来るわけではないが、ジョブの並列処理を記述する方法について若干の知識を持って頂けたものと思う。

4. 計算空カコードの並列処理

本章では3章で述べた並列処理を3種類の計算空カコードに適用した結果について述べる。

プログラムAは三次元翼回りの亜音速流れ解析、プログラムBは三次元翼回りの遷音速流れ解析、プログラムCは二次元翼列回りの流れ解析プログラムである。表4.1に適用プログラムの処理目的、次元、方程式、手法および計算法を示す。これらのプログラムを表4.2に示す実行条件でマルチタスク化し、実行時間の計測を行った。

4.1 マルチタスク化の方法

3章で述べたようにマルチタスキングにはマクロタスキングおよびマイクロタスキングの二つの方法がある。今回は、システムがタスク管理を行い、ユーザーにとって比較的容易に利用可能な3種類のマイクロタスキングの適用を試みた。

以下に単純化したプログラムによって説明する。
処理例 1 (1重ループの分割)

```
C      MAIN PROGRAM
      COMMON A(100), B(100), C(100), N
      N=100
      . . . . .
```

表4.1 調査対象プログラムの概要

プログラム	処 理 目 的	次 元 ・ 方 程 式	手 法	計 算 法
A	亜音速翼回りの流れ解析	三次元、ラプラス	境界要素法	直接法
B	遷音速翼解析	三次元、ナビエストークス	差分法	LU-A D I法
C	翼列解析	二次元、オイラー	有限面積法	陽解法

表4.2 調査対象プログラムの実行条件

プログラム	処 理 目 的	格 子	反復回数
A	亜音速翼回りの流れ解析	5 1 0 パネル	
B	遷音速翼解析	1 2 1 × 3 1 × 3 1	1 0
C	翼列解析	2 5 6 × 4 1	2 0 0 0

```

. . . . .
CALL SUB1
. . . . .
. . . . .
STOP
END

SUBROUTINE SUB1
COMMON A(100), B(100), C(100), N
DO 100 I=1, N
    A(I)=B(I)*C(I)
100 CONTINUE
RETURN
END
    
```

前章の説明から、この場合には DO GLOBAL 文、あるいは PROCESS 文が使用可能なことが理解できるであろう。本例では、サブルーチン SUB1 の DO 100 のループが 1 重であるため、DO GLOBAL 文を使用すると、それぞれの添字 I に応じたスカラ処理の繰り返しになってしまう。X-MP/216 システムはパイプライン演算器を持っているので、このベクトル処理能力を利用するためには、個々の CPU でもベクトル演算となるように並列化を図る必要がある。そのためには、PROCESS 文を用いて、

```

C    MAIN PROGRAM
COMMON A(100), B(100), C(100), N,
N=100
. . . . .
. . . . .
CMIC$ GETCPUS 2
CALL SUB1
CMIC$ RELCPUS
. . . . .
. . . . .
STOP
END
    
```

```

CMIC$ MICRO
SUBROUTINE SUB1
COMMON A(100), B(100), C(100), N
    
```

```

CMIC$ PROCESS
DO 100 I=1, N/2
    A(I)=B(I)*C(I)
100 CONTINUE
CMIC$ ALSO PROCESS
DO 101 I=N/2+1, N
    A(I)=B(I)*C(I)
101 CONTINUE
CMIC$ END PROCESS
RETURN
END
    
```

のように、原プログラムのサブルーチン内の DO 100 ループを、I が 1~N/2 と N/2+1~N となる二つの部分に分けて別個の CPU で実行させれば、長さ N/2 のベクトルとして処理できる。下線を引いた行はマイクロタスキングのための補助文である。

二番目の並列処理方法は次のようなものである。

処理例 2 (2 重ループの DO GLOBAL 文)

```

C    MAIN PROGRAM
COMMON A(100, 100), B(100, 100),
1    C(100, 100), N
N=100
. . . . .
. . . . .
CALL SUB2
. . . . .
. . . . .
STOP
END

SUBROUTINE SUB2
COMMON A(100, 100), B(100, 100),
1    C(100, 100), N
DO 100 J=1, N
DO 100 I=1, N
    A(I,J)=B(I, J)*C(I, J)
100 CONTINUE
RETURN
END
    
```

本例でも、前例に述べたように DO GLOBAL 文か PROCESS 文の利用が考えられ、この場合には

並列化対象ループが2重ループであるので DO GLOBAL 文の利用が適切となる。並列処理を施したプログラムは、

```
C      MAIN PROGRAM
      COMMON A(100, 100), B(100, 100),
1      C(100, 100), N
      N = 100
      . . . . .
      . . . . .
```

CMIC\$ GETCPUS 2

CALL SUB2

CMIC\$ RELCPUS

.

.

STOP

END

CMIC\$ MICRO

SUBROUTINE SUB2

COMMON A(100, 100), B(100, 100),

1 C(100, 100), N

CMIC\$ DO GLOBAL

DO 100 J=1, N

DO 100 I=1, N

A(I, J)=B(I, J)*C(I, J)

100 CONTINUE

RETURN

END

となる。この場合には個々の CPU 中でのベクトル処理は添字 I によって行われ、ベクトル長 N のベクトル演算となる。並列処理は添字 J によって行われ、J が奇数 (1, 3, 5,) の場合は CPU1 で、J が偶数 (2, 4, 6,) の場合には CPU2 でというように並列処理される。J の繰り返し回数が予め定数でわかっている場合には PROCESS 文で表現することは可能であるが、特別の目的がない限り適切でない。

三番目の並列処理方法は次のようなものである。

処理例 3 (異なるプロセスの並列処理)

```
C      MAIN PROGRAM
      COMMON A(100, 100), B(100, 100),
```

```
1      C(100, 100), N
```

N = 100

.

.

CALL SUB3

.

.

STOP

END

SUBROUTINE SUB3

COMMON A(100, 100), B(100, 100),

1 C(100, 100), N

DO 100 I=1, N

A(I, 1)=B(I, 1)*C(I, 1)

100 CONTINUE

DO 110 I=1, N

A(I, N)=B(I, N)*C(I, N)

110 CONTINUE

RETURN

END

本例では、DO 100と DO 110が同時実行可能であるから PROCESS 文を用いて、

```
C      MAIN PROGRAM
```

```
COMMON A(100, 100), B(100, 100),
```

```
1      C(100, 100), N
```

```
N = 100
```

.

.

CMIC\$ GETCPUS 2

CALL SUB3

CMIC\$ RELCPUS

.

.

STOP

END

CMIC\$ MICRO

SUBROUTINE SUB3

COMMON A(100, 100), B(100, 100),

1 C(100, 100), N

```

CMIC$ PROCESS
  DO 100 I=1, N
    A(I, 1)=B(I, 1)*C(I, 1)
  100 CONTINUE
CMIC$ ALSO PROCESS
  DO 110 I=1, N
    A(I, N)=B(I, N)*C(I, N)
  110 CONTINUE
CMIC$ END PROCESS
  RETURN
  END

```

とする。この場合には DO 100は CPU1で、DO 110は CPU2で実行される。

用いた3種類の計算空力コードそれぞれに対して、その全実行時間に対して最も実行時間を費やすサブルーチンに、以上のような並列処理を施した。以下に各計算空力コードに適用した処理例と CPU の獲得および解放の補助文設定位置を示す。

プログラム A

処理例 1
CMIC\$ GETCPUS はメインプログラムで、マイクロタスク化されるサブルーチンを含む3重ループの直前にある。

CMIC\$ RELCPUS はメインプログラムの同じ3重ループの直後にある。

プログラム B

処理例 2

CMIC\$ GETCPUS はメインプログラムの全体の繰り返しループの直前にある。

CMIC\$ RELCPUS はメインプログラムの同じ繰り返しループの直後にある。

プログラム C

処理例 2, 処理例 3

CMIC\$ GETCPUS はメインプログラムの最初にある。

CMIC\$ RELCPUS はメインプログラムの最後にある。

4.2 並列化率および高速化倍率

2台の要素計算機よりなる並列計算機を考えた場合、並列化率、および並列化による高速化倍率

は次のように考えればよい。主タスクを実行する CPU を CPU1 とする。

1台の計算機でプログラム全体をスカラ処理したときの CPU 使用時間を T 、並列処理できない部分をスカラ処理したときの CPU 使用時間を T_S 、並列処理指定部分をスカラ処理したときの CPU 使用時間を T_P とする ($T=T_S+T_P$)。この T_P のうち CPU1 で処理した時間を T_{P1} 、CPU2 で処理した時間を T_{P2} とする ($T_P=T_{P1}+T_{P2}$)。このときオーバーヘッドを無視すると、並列処理による高速化倍率 a_0 は、

$$a_0 = T / (T_S + \max(T_{P1}, T_{P2})) \\ = 1 / (1 - f_P + \max(b_{P1}, b_{P2})) \quad (4.1)$$

となる。ここで $b_{P1}=T_{P1}/T$ 、 $b_{P2}=T_{P2}/T$ であり、それぞれ CPU1 および CPU2 の並列処理部分の処理に要した時間の T に対する割合である。 $f_P=T_P/T$ は並列化率と呼ばれるものであり、 $f_P=b_{P1}+b_{P2}$ である。並列処理部分での CPU1 と CPU2 の負荷が同じであるときには、 $T_{P1}=T_{P2}=T_P/2$ 、 $b_{P1}=b_{P2}=f_P/2$ となる。

オーバーヘッドを考慮に入れると、並列処理のためのすべてのオーバーヘッド時間の合計を H_P とすれば、並列処理による高速化倍率 a_h は、

$$a_h = T / (T_S + \max(T_{P1}, T_{P2}) + H_P) \\ = 1 / (1 - f_P + \max(b_{P1}, b_{P2}) + h_P) \quad (4.2)$$

となる。ここで $h_P=H_P/T$ である。

X-MP/216 システムの要素計算機はベクトル計算機であるから、これにベクトル化の効果が加わることになる。オーバーヘッドを無視した場合には次のように考えれば良い。逐次処理部分 (T_S) のベクトル化による高速化倍率を α_{v_n} 、並列処理部分 (T_P) のそれを α_{v_p} とすると、ベクトル化を考慮した並列処理による高速化倍率 a_{v0} は、

$$a_{v0} = (T_S/\alpha_{v_n} + T_P/\alpha_{v_p}) / (T_S/\alpha_{v_n} \\ + \max(T_{P1}/\alpha_{v_{p1}}, T_{P2}/\alpha_{v_{p2}})) \\ = (r_{pn} \times (1 - f_P) + f_P) \\ / (r_{pn} \times (1 - f_P) \\ + \max(r_{p1} b_{P1}, r_{p2} b_{P2})) \quad (4.3)$$

となる。ここで $r_{pn}=\alpha_{v_p}/\alpha_{v_n}$ 、 $r_{p1}=\alpha_{v_p}/\alpha_{v_{p1}}$ 、 $r_{p2}=\alpha_{v_p}/\alpha_{v_{p2}}$ である。オーバーヘッドを考慮した場合も同様に考えることができる。

4.3 結果と検討

以下の説明においては、マルチタスク化される前のプログラムをシングルタスクプログラムと呼び、マルチタスク化されたプログラムをマルチタスクプログラムと呼ぶことにする。

実行時間の測定は、X-MP/216システムとして一つのジョブしか実行しない一多重処理条件下で、シングルタスクプログラムを1CPUだけを使って実行した場合(Sと呼ぶ)、同じ条件下でマルチタスクプログラムを1CPUだけを使って実行した場合(M1と呼ぶ)と2CPUを使った場合(M2と呼ぶ)、の3通りの条件で行った。それぞれの条件下で実行に要した合計CPU時間を例えばM1(CPU)と表す。またCPU1, CPU2の実行時間を例えばM2(CPU1)と表す。S(CPU)=S(CPU1), M1(CPU)=M1(CPU1)である。

表4.3は各CPUの実行時間、経過時間、実行待ち時間及びI/O待ち時間の一覧表である。実行

待ち時間、I/O待ち時間は一多重処理下であってもフロントエンド計算機との関係などからシステムの状態に左右される。

まず始めに、並列記述したことによる実行時間の増加倍率はM1(CPU)/S(CPU)により与えられる。この増加は、並列記述を行った事により生じたものであり、たとえば、DOループを半分にしたためにベクトル長が短くなり効率が悪くなったこと、及びマルチタスク化のためのオーバーヘッドであると考えられる。この値から1を引いた百分率はプログラムAで14%、Bで4%、Cで11%である。

並列計算機にあっては、この並列化のために要するオーバーヘッドを如何に少なくするかは重要な課題である。例えばn多重計算機の場合、10%のオーバーヘッドがあれば、プログラムの始めから終わりまでを各要素計算機の負荷が等しくなるように完全に並列化できたとしても、その高速化

表4.3 シングルタスクプログラムとマルチタスクプログラムの実行時間測定結果
GO ステップ実行時間, 単位: 秒

プログラム		CPU使用時間			経過時間	実行待ち時間		I/O待ち時間	
		CPU1	CPU2	TOTAL		CPU1	CPU2	CPU1	CPU2
A	S	4.2480	-	4.2480	6.3576	0.0462	-	2.2431	-
	M1	4.8296	-	4.8296	4.9362	0.0502	-	0.1964	-
	M2	3.1147	2.3415	5.4562	3.2615	0.0979	0.0095	0.2145	0
B	S	25.7835	-	25.7835	32.2109	0.1191	-	6.5688	-
	M1	26.7907	-	26.7907	33.0074	0.1247	-	6.3326	-
	M2	23.2224	22.1909	45.4133	30.1082	0.2768	0.0212	6.6445	0
C	S	41.4325	-	41.4325	42.0461	0.0476	-	0.6854	-
	M1	45.8679	-	45.8679	46.5347	0.3782	-	0.3575	-
	M2	29.0369	28.8155	57.8524	29.7681	0.3478	0.3719	0.3931	0

S : シングルタスクプログラム実行時間 (一多重処理下)

M1 : マルチタスクプログラム実行時間 (一多重処理下、1CPU)

M2 : マルチタスクプログラム実行時間 (一多重処理下、2CPU)

倍率は、

$$1/(1/n+0.1)$$

にしかない。n=2のときこの値は1.67であり、nが無限大になっても10にしかない。即ち、並列に動作可能な計算機が無限大台数であっても10倍以上の処理速度は得られない。オーバーヘッドの少ないハードウェアを如何に開発するか、またそれを生かすソフトウェアを如何に開発するかの重要性は、この数字からだけでも明らかである。

次に並列処理することによりどれだけ処理が高速化されたかを見る。並列処理すればオーバーヘッドなどのために合計したCPU時間は増加する。従って、並列処理したことによる高速化の効果を見るには合計CPUでの比較ではなく、S(CPU)/M2(max(CPU1, CPU2))の値を使用しなければならない。この値はそれぞれプログラムAでは1.36、プログラムBでは1.11、プログラムCでは1.43である。プログラムBの高速化倍率が小さいのは次に見るように並列化率が小さいことに原因がある。

ここで得られた高速化倍率の値と前述のオーバーヘッドの値を使えば(4.3)式から並列化率 f_p の値が求まる。実測データを使うため r_{pn} , r_{p1} , r_{p2} の効果が含まれており、式としては(4.2)式の形になる。また、今回の調査においてプログラムAおよびBに対して適用された並列化手法では $b_{p1} = b_{p2} = f_p/2$ としてよい。この結果プログラムAの並列化率は80.9%、プログラムBは27.8%である。プログラムCには処理例3を適用したため $b_{p1} \neq b_{p2}$ である。高速化倍率が同じであっても並列処理部分のロードバランスが悪い場合には、その並

列化率は並列処理部分のロードバランスが良い場合に比べて大きくなる。従って、プログラムCの並列化率は $b_{p1} = b_{p2}$ の場合の並列化率82.1%より大きい値である。プログラムBの並列化率が小さいのは今回の調査で並列化した部分が小さいのであって、プログラムそのものとしてはまだ並列化可能である。プログラムA, Cについてももう少し並列化する余地はある。またプログラムBのオーバーヘッドが小さいのが、並列化率が小さいことによるものなのか、プログラムの性質によるものなのかは今回の調査では特定できなかった。

実際に複数台のCPUで並列処理させれば、オーバーヘッドのためにユーザープログラムの実行CPU時間の合計は増加する。この増加倍率は、2台のCPUより成る並列計算機では

$$\frac{(\text{CPU1のユーザープログラム実行CPU時間} + \text{CPU2のユーザープログラム実行CPU時間})}{S(\text{CPU})}$$

の値で与えられ、今回の調査では $M2(\text{CPU}) = M2(\text{CPU1}) + M2(\text{CPU2})$ が分子に相当すると考えられる。しかし並列化率の小さいプログラムBでは $M2(\text{CPU2})$ の値は $M2(\text{CPU1})$ の値よりかなり小さいと予想されるのに対し、実測値はほぼ同じであることやCPUの確保を示す補助文の挿入位置から考えて、 $M2(\text{CPU2})$ の値にはCPUの使用に関係なくCPUを確保している時間も含まれる可能性があると考えられる。もし $M2(\text{CPU2})$ の値としてユーザープログラム実行CPU時間のみのデータが得られれば、並列化によるCPU時間の増加倍率は、

$$(M2(\text{CPU1}) + M2(\text{CPU2})) / S(\text{CPU})$$

表 4.4 オーバーヘッド、高速化倍率および推定並列化率

プログラム	オーバーヘッド	高速化倍率	推定並列化率
	$(M1(\text{CPU})/S(\text{CPU})-1) \times 100$	$S(\text{CPU})/M2(\text{CPU1})$	(4.2) 式
A	14 %	1.36	80.9 %
B	4 %	1.11	27.8 %
C	11 %	1.43	>82.1 %

として求めることが可能である。

最後に、本節で求められたオーバーヘッド、高速化倍率および推定並列化率を表 4.4 にまとめておく。

5. ま と め

ベクトル計算機を要素計算機とする多重計算機システム CRAY X-MP を対象に、計算空力コードを用いて並列処理の調査を行った。この計算機システムでは、ベクトル化と同時に並列化できるプログラムとすることが重要である。今回は並列化の調査を目的とし、ベクトル化の分析に必要なデータの取得は行わなかった。この結果、以下の結論が得られた。

- i) 今回の調査プログラムでは、並列化のためのオーバーヘッドは 4~14% であった。
- ii) 一多重実行条件下での高速化倍率は 1.1~1.4 であった。小さい数字は並列化率が小さいプログラム B によるものであり、これも含めてさらに並列処理を施すことにより倍率を大きくすることが可能である。
- iii) CRAY X-MP は所謂 TCMP (密結合主記憶共有型多重計算機) であるため、調査対象とした計算空力コードでは、それほど複雑な並列化手法を使うことなく相当程度の並列化が達成できる見込みがたった。
- iv) 並列処理モードでエラーが起きたとき、それがプログラムの論理的間違いによるものなのか、或いは並列化の間違いによるものなのか、また後者の場合どのような間違いを起こしたのかなどデバッグツールがベクトル計算機以上の機能を具えている必要がある。

6. む す び

汎用計算機でも採用されている多重計算機システムによる並列処理は、システムとしての CPU 使用効率の向上、全体としての経過時間の短縮を図ることに重点がある。多重処理を行うことにより、遊んでいる CPU を活かすようなシステム環境となっている場合、他のジョブとマルチタスクジョブが混在したときには複数の CPU を独占す

ることは不可能である。その結果、マルチタスクジョブにとって最高のターンアラウンドタイムは保証されず、並列化による高速化が十分には達成されない。NASA Ames 研究所では CRAY-2 システム、CRAY Y-MP システムが稼動しており、単一ジョブの並列処理を行うことは可能であるが、実際には積極的には行われていないようである⁶⁾。

これは運用者の政策でもあるが、CPU を遊ばせてでも並列処理を行って 1 ジョブの CPU 経過時間を短縮するよりは、複数の CPU を別々に使用してシステム効率を上げる方が良いと判断したものと考えられる。

このような運用をする場合には、多重計算機システムが持っている主記憶を複数ジョブで分割しなければならず、航技研が実行しているような計算空力のためには相当大きな主記憶が必要となる。例えば 4 多重計算機で 8 多重処理をし、一つのジョブに 50MB の主記憶を割り当てようとするれば、400MB のユーザー使用可能主記憶が必要となる。ちなみに航技研のジョブクラスで最大使用可能な主記憶は 968MB であり、50MB のジョブは主記憶としては小規模ジョブである。この観点からすると CRAY X-MP の主記憶容量は小さすぎる。

1 台のベクトル計算機による処理速度向上は限界に近づいており、いずれにしろ何らかの多重化 (並列化) が不可避である。すでに新聞紙上などでも公表されているが、国産次期スーパーコンピュータも多重計算機の方にある。これをどう運用するかはそれぞれの計算センタの政策であるが、何のために並列化して高速処理を実現しようとしているのかという原点を見失ってはならない。

参 考 文 献

- 1) スーパーコンピュータ製品・技術・応用；日経 BP 社，1989年 6 月
- 2) 渡辺 貞；スーパーコンピュータの高速化技術，第 3 回航空機計算空気力学シンポジウム論文集，1985年 11 月
- 3) The CRAY X-MP Series of Computer Systems, 日本クレイ株式会社パンフレット，1987年 10 月

- 4) SUPERCOMPUTER HARDWARE : A REPORT BY THE IEEE-USA SCIENTIFIC SUPERCOMPUTER SUBCOMMITTEE, 1989
- 5) CRAY X-MP MULTITASKING PROGRAMMER'S REFERENCE MANUAL, SN-0222
- 6) 藤井孝蔵 ; 動き出したNASシステム, 日本航空宇宙学会誌 Vol.36, 1988年7月

航空宇宙技術研究所報告1069号

平成2年6月発行

発行所 航空宇宙技術研究所
東京都調布市深大寺東町7丁目44番地1
電話三鷹(0422)47-5911(大代表)〒182
印刷所 株式会社三興印刷
東京都新宿区西早稲田2-1-18

Printed in Japan